

Tangra™ L Pro

685-705W

Monokrystaliczny Bifacjalny Moduł Double Glass N-type



Technologia bifacial umożliwia dodatkowe pozyskiwanie energii z tylnej strony modułu (do 30%)



30-letnia żywotność zapewnia dodatkowe 10-30% mocy w porównaniu z konwencjonalnym modułem P-type



Ogniwa N-type posiadają niższą degradację świetlną, co w oczywisty sposób wpływa na uzyski



Doskonała wydajność przy niskim natężeniu promieniowania



Lepsze wychwytywanie światła i jego konwersja na prąd elektryczny w celu zwiększenia mocy i niezawodności



Jeden z najniższych na rynku współczynników temperaturowych mocy



Zoptymalizowana konstrukcja elektryczna i niższy prąd roboczy dla uzyskania lepszego współczynnika temperaturowego i w celu zmniejszenia ryzyka występowania hot spotów



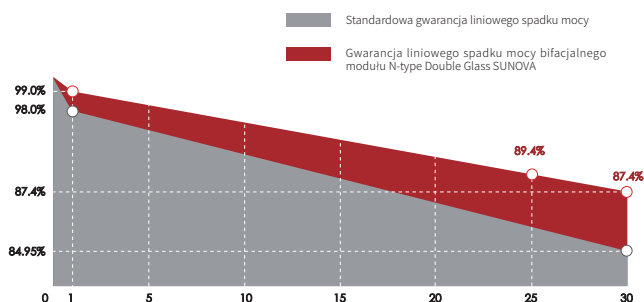
Maksymalne obciążenie statyczne
Ciśnienie śniegu: 5400 Pa
Ciśnienie wiatru: 2400 Pa



Pełne potrójne testy EL dla maksymalnej redukcji mikropęknięć oraz możliwość wglądu w te testy oraz zdjęcia



GWARANCJA LINIOWA



15 Lat

Gwarancja na wykonanie produktu

30 Lat

Gwarancja liniowego spadku mocy

0.40 %

Roczna degradacja w okresie 30 lat

KOMPLEKSOWE CERTYFIKATY



ISO 9001: Norma zarządzania jakością

ISO 14001: Norma zarządzania środowiskowego

ISO 45001: Norma zarządzania systemem BHP

SA 8000: 2014 Społeczna odpowiedzialność

* Różne rynki wymagają różnej certyfikacji. Równocześnie, nasze produkty podlegają ciągłym innowacjom. Proszę o potwierdzenie certyfikacji z regionalnym przedstawicielem sprzedawcy.

UBEZPIECZENIE EFEKTYWNOŚCI



*Opcjonalne ubezpieczenie gwarancji.
Skontaktuj się z nami, aby uzyskać więcej informacji.

CHARAKTERYSTYKA ELEKTRYCZNA

Typ modułu	SS-BG685-66MDH-G12(T)		SS-BG690-66MDH-G12(T)		SS-BG695-66MDH-G12(T)		SS-BG700-66MDH-G12(T)		SS-BG705-66MDH-G12(T)	
	STC	NOCT	STC	NOCT	STC	NOCT	STC	NOCT	STC	NOCT
Moc maksymalna — P_{mp} (W)	685	510	690	514	695	524	700	527	705	531
Napięcie obwodu — V_{oc} (V)	46.38	43.78	46.43	43.83	47.23	44.58	47.38	44.72	47.53	44.87
Prąd zwarciaowy — I_{sc} (A)	18.54	14.98	18.63	15.05	18.68	15.09	18.70	15.11	18.73	15.13
Napięcie w punkcie mocy maksymalnej — V_{mp} (V)	39.12	36.63	39.25	36.75	39.50	36.98	39.67	37.14	39.85	37.30
Prąd w punkcie mocy maksymalnej — I_{mp} (A)	17.51	13.93	17.58	13.99	17.59	14.16	17.64	14.20	17.69	14.24
Sprawność modułu — η_m (%)	22.05		22.21		22.37		22.53		22.70	

STC (Ustandaryzowane warunki testu): natężenie promieniowania słonecznego 1000 W/m², temperatura ogniwa 25 °C, widmo AM1.5

NOCT (Nominalna temperatura pracy ogniwa): natężenie promieniowania słonecznego 800 W/m², temperatura otoczenia 20 °C, widmo AM1.5, wiatr 1 m/s

WARTOŚĆ DODANA NASZYCH PRODUKTÓW (Z UWZGLĘDNIENIEM 13.5% PROMIENIOWANIA ODBITEGO)

Moc maksymalna (P_{max}) (W)	759	765	770	776	781
Napięcie obwodu (V_{oc}) (V)	46.38	46.43	47.23	47.38	47.53
Prąd zwarciaowy (I_{sc}) (A)	20.54	20.64	20.70	20.72	20.75
Napięcie w punkcie mocy maksymalnej (V_{mp}) (V)	39.12	39.25	39.50	39.67	39.85
Prąd w punkcie mocy maksymalnej (I_{mp}) (A)	19.40	19.48	19.50	19.55	19.60

CHARAKTERYSTYKA PRODUKTU

Wymiary produktu (dł*sz*wys)	2384 x 1303 x 35 mm
Waga	38.5 kg
Ogniwo	132 ogniw, N-type Monocrystalline
Szyba przednia	2.0 mm hartowane szkło z antyrefleksem
Szyba tylna	2.0 mm hartowane szkło
Rama	Anodowany stop aluminium (srebrny/czarny)
Puszka przyłączeniowa	IP68, 3 diody obejściowe
Przewód	4.0 mm ²
Długość przewodu	300mm / 1200mm lub na życzenie dłuższy
Konektory	Kompatybilne z MC4
Konfiguracja pakowania	31 szt./paleta, 558 szt./40' HQ

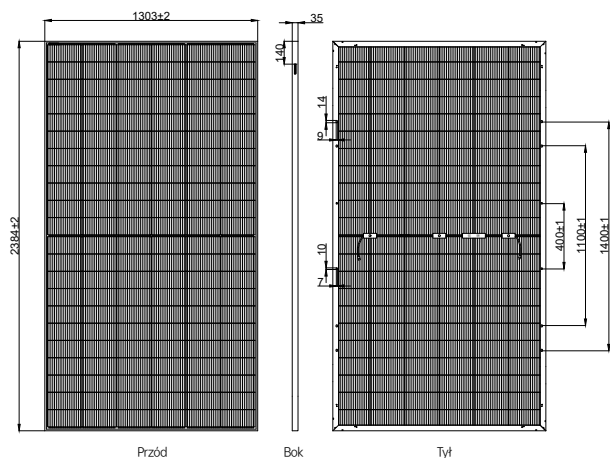
PARAMETRY PRACY

Tolerancja mocy (W)	(0,+5)
Maksymalne napięcie systemu (V)	1500
Maksymalny prąd nominalny dla połączenia szeregowego (A)	35
Temperatura pracy (°C)	-40~+85 °C
Maksymalne obciążenie	5400 Pa / 2400 Pa

WSKAŹNIKI TEMPERATUROWE

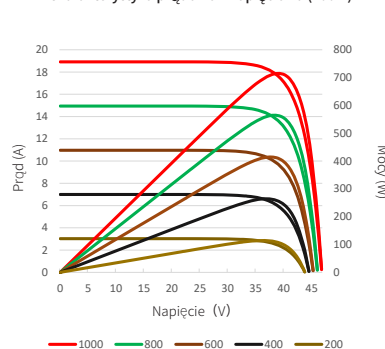
Współczynnik temperaturowy (P_{max})	-0.30 %/°C
Współczynnik temperaturowy (V_{oc})	-0.28 %/°C
Współczynnik temperaturowy (I_{sc})	+0.04 %/°C
Nominalna temperatura pracy	43±2 °C

WYMIARY MODUŁU (mm)



* Nieoznaczona tolerancja wynosi ±1 mm, Długość podana w mm.

Charakterystyka prądowo - napięciowa (700W)



Charakterystyka zmiany mocy w funkcji temperatury ogniwa

